

01; 11

© 1990 г.

К ТЕОРИИ ПРИЭЛЕКТРОДНОГО СЛОЯ С НЕМОНОТОННЫМ ХОДОМ ПОТЕНЦИАЛА

B. H. Сидельников

Анализируется ход потенциала в приэлектродном слое в бесстолкновительном приближении. Распределения электронов и ионов на границах с электродом и с плазмой представлены в виде максвелловских функций, а распределение ионов, летящих из плазмы, ускорено на переходном слое в плазме на $\varphi_0 \approx 0.1$ эВ. Для немонотонного барьера, задерживающего электроны, летящие из плазмы, получена простая интерполяционная формула.

Для корректного описания хода потенциала в приэлектродном слое дугового режима необходимо решение кинетической задачи, так как толщина приэлектродного слоя порядка дебаевского радиуса экранирования ($r_d \sim 10^{-4}$ см) много меньше длин свободного пробега ионов и электронов ($l_{e,i} \sim 10^{-3}$ см). Малость отношения r_d/l_e позволяет пренебречь столкновениями при упрощенном описании приэлектродного слоя [1-3]. Трудности, возникающие при построении моделей приэлектродного слоя, связаны прежде всего с некорректностью граничного условия на краю плазмы [4, 5]. Это затруднение в настоящее время преодолевается путем обрезания энергетического спектра ионов, летящих из плазмы в интервале энергий $(0, \varphi_0)$ [2]. Обусловливается это ускорением ионов на электрическом поле, проникающем в квазинейтральную плазму, причем падение потенциала в переходном слое составляет $\sim kT_e/2e$ [1]. Выбор энергии φ_0 , однако, требует дальнейшего уточнения и обоснования. Возможность получения напряженности электрического поля на поверхности электрода из уравнения Пуассона в аналитическом виде (первый интеграл) стимулировала появление различных вариантов критерия виртуальности [3], а не детального анализа хода потенциала в приэлектродном слое. Более полный анализ приэлектродных явлений возможен с помощью самосогласованной модели одномерного бесстолкновительного слоя. Зададим распределение электронов и ионов на границах приэлектродного слоя с электродом и с плазмой (рис. 1) в виде максвелловских функций, учитывая отражение заряженных частиц от потенциальных барьеров и возможный захват в потенциальных ямах (функции распределения захваченных частиц в потенциальных ямах будем считать максвелл-больцмановскими [1, с. 402]).

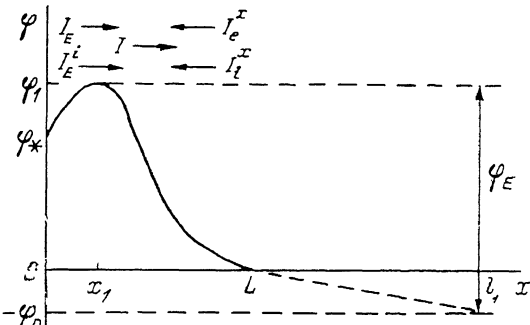


Рис. 1. Ход потенциала в приэлектродном слое.

$$f_e = \frac{m_e I_E e^{-V_x^2 / V_{0e}^2}}{e k T} \theta \left(V_x + \sqrt{\frac{2e(\varphi_1 - \varphi_*)}{m_e}} \right), \quad x = 0, \quad (1)$$

$$f_i = \frac{m_i I_E^i e^{-V_x^2 / V_{0i}^2}}{e k T} \theta \left(V_x + \sqrt{\frac{2e\varphi_*}{m_i}} \right), \quad x = 0, \quad (2)$$

$$f_e = \frac{m_e I_e e^{-V_x/V_0e}}{ekT_e} \Theta \left(V \frac{\sqrt{2e\varphi_1}}{m_e} - V_x \right), \quad x=L, \quad (3)$$

$$f_i = \frac{m_i I_i e^{-V_x^2/V_0^2}}{ekT} \Theta \left(-V \frac{\sqrt{2e\varphi_0}}{m_i} - V_x \right), \quad x=L. \quad (4)$$

Индексы e , i , E , x означают электрон, ион, эмиттер, хаотический, n — плотность частиц, φ — потенциал, f — функция распределения по скоростям, L — толщина приэлектродного слоя, I — ток, $\theta(z)=1$ при $z>0$ и $\theta(z)=0$ при $z<0$, $V_0=\sqrt{2kT/m}$, V_x — проекция скорости частицы на ось x , T — температура электрода.

Функции распределения по скоростям в бесстолкновительном приближении удовлетворяют кинетическим уравнениям, а потенциал — уравнению Пуассона [1, с. 338]

$$V_r \frac{\partial f_i}{\partial x} + \frac{e}{m_i} \frac{d\varphi}{dx} \frac{\partial f_i}{\partial V_x} = 0, \quad 0 < x < L, \quad (5)$$

$$V_x \frac{\partial f_e}{\partial x} - \frac{e}{m_e} \frac{d\varphi}{dx} \frac{\partial f_e}{\partial V_x} = 0, \quad (6)$$

$$\frac{d^2\varphi}{dx^2} = 4\pi e (n_i - n_e), \quad (7)$$

$$n_i = \int_{-\infty}^{\infty} f_i dV_x, \quad n_e = \int_{-\infty}^{\infty} f_e dV_x. \quad (8)$$

Уравнения (5), (6) имеют решение в виде функций, зависящих от полных энергий ионов и электронов в электрическом поле, а соотношения (8) позволяют получить выражения для плотностей электронов и ионов, эмиттированных с электрода и из плазмы перед и за потенциальным барьером (рис. 1)

$$n_e^E = \begin{cases} \frac{2I_E}{e\varPhi} F_+ (\Phi_1 - \Phi) e^{\Phi_1 - \Phi}, & 0 < x < x_1, \\ \frac{2I_E}{e\varPhi_1} F_- (\Phi_1 - \Phi) e^{\Phi_1 - \Phi}, & x_1 < x < L, \end{cases} \quad (9), \quad (10)$$

$$n_i^E = \frac{2I_i^r}{e\varPhi} F_+ (\Phi) e^{\Phi - \Phi_*}, \quad 0 < x < L, \quad (11)$$

$$n_e^x = \begin{cases} \frac{2I_e^r}{e\varPhi_e} F_+ (\Phi_1^r - \Phi^r) e^{-\Phi^r}, & x_1 < x < L, \\ \frac{2I_e^r}{e\varPhi_e} F_- (\Phi_1^r - \Phi^r) e^{-\Phi^r}, & 0 < x < x_1, \end{cases} \quad (12), \quad (13)$$

$$n_i^x = \frac{2I_i^r}{e\varPhi_i} F_- (\Phi + \Phi_0) e^{\Phi + \Phi_0}, \quad 0 < x < L. \quad (14)$$

Здесь $\Phi = e\varphi/kT$, $\Phi_e = e\varphi/kT_e$, $\Phi_0 = e\varphi_0/kT$, $\varPhi = \sqrt{8kT/\pi m}$, $I_r = en\Phi_1^r/4$, $F_z(z) = 1 \pm \text{erf}(z)$, $\text{erf}(z) = \frac{2}{\sqrt{\pi}} \int_{-\infty}^{\infty} e^{-z^2} dz$.

Границные условия для потенциала задаются на электроде и на краю плазмы ($\varphi = \varphi_*$ при $x=0$ и $\varphi=0$ при $x=L$). Градиент потенциала на краю плазмы $d\varphi/dx = -(\varphi_0/I_i)$, отсюда определяется толщина приэлектродного слоя L (в работе [6] для определения L использовалось условие $d\varphi/dx=0$). Условие квазинейтральности на краю плазмы $n_i - n_e = 0$ позволяет определить хаотический ток ионов I_i^r . Границное условие на краю плазмы

$$\frac{d(n_i - n_e)}{dx} = 0, \quad (15)$$

которое является модификацией критерия Бома $(d(n_i - n_e^c))/d\varphi \geq 0$, позволяет определить величину энергии Φ_0 . Кроме того, условие (15) представляет собой естественное обобщение условия квазинейтральности (переход к квазинейтральности на краю плазмы должен быть плавным). Условие баланса потоков электронов (рис. 1)

$$I = I_E e^{-P} - I_e^x e^{-R} \quad (16)$$

позволяет определить ток эмиссии электронов через I и I_e^x . Здесь $P = \max(0, \Phi_1 - \Phi_*)$, $R = \min(\Phi_*, \Phi_1)$. Таким образом, основными параметрами решаемой задачи являются T , T_e , φ_* , I , I_e^x и I_i^E , в конечном итоге определяющими значения величин φ_0 , L и φ_1 .

Уравнение (7) решалось конечно-разностным методом [7]. Решение на сетке с 50 счетными узлами обеспечивало погрешность не хуже 2 %, что определялось из варьирования количества счетных узлов. Величины I_i^E , φ_0 и L определялись путем удовлетворения соответствующим граничным условиям на краю плазмы с помощью метода нижней релаксации. Анализ расчетных данных для немонотонного хода потенциала в приэлектродном слое позволил получить приближенное значение величины энергии φ_0 , которое $\approx 0.7 (k/e)T$, что численно соглашается с [1]. Кроме того, было установлено, что немонотонный ход потенциала в приэлектродном слое становится при $\frac{n_e^x}{n_e^E} \Big|_{x=L} \simeq 2.5$, т. е. при условии, что в плазме доля эмиссионных электронов становится больше $\sim 30\%$. Критерий Ленгмиора возникновения виртуальности

$$\sqrt{\frac{m_i}{m_e}} \frac{I_i^x}{I_E} = \frac{n_e^x + n_e^E}{n_e^E} \simeq \frac{3.5}{1 + \sqrt{\pi} \Phi_*} \simeq 1 \quad (17)$$

удовлетворяется с 50%-ной точностью при $\Phi_* \approx 0.5 - 5$.

Значение φ_0 определено, а величину задерживающего барьера φ_1 можно определить из первого интеграла уравнения Пуассона (7), который берется аналитически. Интеграл от левой части уравнения (7) от L до x_1 равен разности квадратов напряженностей электрического поля на краю плазмы и в точке x_1 (максимум потенциала), которые можно положить равными нулю. Тогда получим уравнение

$$I_i^x \sqrt{\frac{m_i}{m_e}} h_1 + I_i^E \sqrt{\frac{m_i}{m_e}} h^+ - I_e^E h^- - I_e^x \sqrt{\frac{T_e}{T}} h_e^+ = 0, \quad (18)$$

$$h^- = F_-(\Phi_1) e^{\Phi_1} + \frac{2}{\sqrt{\pi}} \sqrt{\Phi_1} - 1, \quad (19)$$

$$h^+ = F_+(\Phi_1) - \left(\frac{2}{\sqrt{\pi}} \sqrt{\Phi_1} + 1 \right) e^{-\Phi_1}, \quad (20)$$

$$h_1 = h^-(\Phi_1 + \Phi_0) - h^-(\Phi_0), \quad (21)$$

$$h = \frac{h_1}{F_+(\Phi_0) e^{\Phi_0}}. \quad (22)$$

Условие квазинейтральности на краю плазмы имеет следующий вид:

$$I_E F_-(\Phi_1) e^{\Phi_0} + I_e^x \sqrt{\frac{T}{T_e}} F_+(\Phi_1) - I_i^E \sqrt{\frac{m_i}{m_e}} e^{-\Phi_0} - I_i^x \sqrt{\frac{m_i}{m_e}} F(\Phi_0) e^{\Phi_0} = 0. \quad (23)$$

Подставим I_i^x из (23) в (18), а затем I_E из (16). Получим

$$\frac{I}{I_i^x} = \sqrt{\frac{T}{T_e}} \frac{F_+(\Phi_1) - \frac{T_e}{T} \frac{h_e^+}{h}}{\frac{h^-}{h} - F_-(\Phi_1) e^{\Phi_1}} - e^{-\Phi_1} +$$

$$+ \frac{I_E^t}{I_E^x} \sqrt{\frac{m_i}{m_e}} \frac{\frac{h^+}{h} - e^{-\Phi_1}}{\frac{h^-}{h} - F_-(\Phi_1) e^{\Phi_1}} e^{\Phi_1 - \Phi_*} \quad (24)$$

Уравнение (24) позволяет получить однозначную связь величин I/I_e^x , T_e/T и Φ_1 , приведенную на рис. 2 (для дугового режима характерны параметры компенсации $\alpha = (I_E^t/I_E) \sqrt{m_i/m_e} \leq 10^{-2}$, поэтому учет последнего слагаемого в (24) существенного влияния на решение не оказывает). Учитывая, что в дуговом режиме для эмиттера и коллектора $-1 \leq I/I_e^x \leq 1$, можно по приведенным на рис. 2 кривым получить интерполяционную формулу для величины немонотонного потенциального барьера, задерживающего плазменные электроны

$$\Phi_E = \Phi_0 + \Phi_1 \simeq 0.7 + 0.08 \left(1 + \frac{I}{I_e^x} \right)^2 \left(\frac{T_e}{T} \right)^3, \quad 0 < \frac{T_e}{T} \leq 5. \quad (25)$$

Погрешность интерполяции кривых рис. 2 формулой (25) возрастает с ростом T_e/T , но не превышает $\sim 50\%$. При $\varphi_* < \varphi_1$ ход потенциала в приэлектродном скачке немонотонен, а при $\varphi_* > \varphi_1$ монотонен. В формуле (25) учтено, что на промежуточном слое в плазме падение потенциала составляет $\Phi_0 \approx 0.7$. Первое слагаемое в (25) $\sim \Phi_0$, а второе (это следует из решения уравнения (24) для разных значений Φ_0)

$$\Phi_1 \sim \left(\frac{1}{\Phi_0 + 0.02} \right)^{3/4} \sim \Phi_0^{-3/4}. \quad (26)$$

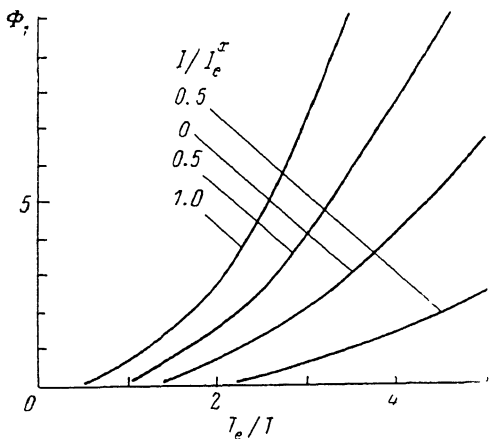


Рис. 2. Влияние температуры электронов и проходящего тока на величину задерживающего барьера.

Уменьшением температуры эмиттера величина барьера возрастает. Таким образом, немонотонный ход потенциала характерен для малых приэлектродных скачков. Из (26) можно, однако, сделать вывод, что использование некорректного условия $\Phi_0=0$ (как это полагалось в ранних моделях немонотонного приэлектродного скачка) приводило к завышению величины немонотонного барьера на порядок.

Учет немонотонности хода потенциала приэмиттерного скачка в численной модели термоэмиссионного преобразователя ТОР приводит к сдвигу точек затрудненного режима вольт-амперной характеристики (т. е. участка вольтамперной характеристики ниже верхней точки перегиба) на $\Delta V \leq 0.05$ В [8]. Столь слабое влияние немонотонности приэмиттерного скачка обусловливается тем, что проигрыш в напряжении на приэлектродном скачке компенсируется ростом температуры электронов у эмиттера из-за разогрева на ускоряющем эмиссионные электроны скачке и ростом плотности плазмы в зазоре, приводящем к снижению величины падения потенциала в плазме. Для приколлекторного скачка имеем $I/I_e^x \approx -1$, из формулы (25) следует, что величина немонотонного приколлекторного барьера для плазменных электронов может составлять $\varphi_c \approx 0.7 (k/e) T_c \approx 0.06$ эВ, т. е. существенно меньше приэмиттерного барьера.

Автор выражает благодарность Ф. Г. Бакшту, Г. А. Дюжеву, В. З. Кайышеву и А. Я. Эндеру за полезные обсуждения.

Список литературы

- [1] Термоэмиссионные преобразователи и низкотемпературная плазма / Под ред. Б. Я. Мойжеса, Г. Е. Пикуса. М.: Наука, 1973. 480 с.
- [2] Main G. L., Lam S. H. // Intersoc. Energy Conversion Eng. Conf. 1983. Р. 215—220.
- [3] Lundgren L. // J. Appl. Phys. 1983. Vol. 54. N 8. Р. 4354—4358.
- [4] Вакшт Ф. Г., Юрьев В. Г. // ЖТФ. 1979. Т. 49. Вып. 5. С. 905—944.
- [5] Щербинин И. Л. // ЖТФ. 1972. Т. 42. Вып. 12. С. 2490—2500.
- [6] Вакшт Ф. Г., Бородин В. С., Журавлев В. Н., Рутберг Ф. Г. // ЖТФ. 1987. Т. 57. Вып. 12. С. 2296—2305.
- [7] Численные методы динамики вязкой жидкости / Под ред. Б. Я. Кузнецова. Новосибирск, 1979. С. 160—168.
- [8] Сидельников В. Н. Препринт ФЭИ. № 1822. Обнинск, 1986. 13 с.

Поступило в Редакцию
19 мая 1988 г.
В окончательной редакции
20 марта 1989 г.
